

Рис. 2. Спектры нейтронов  $\Phi(\lambda)$ , выведенных из сквозного касательного канала. Поликристаллический фильтр — бериллий; рассеиватель:  
 $\triangle$  — окись бериллия;  $\circ$  — графит ( $t = 120$  мм);  $\bullet$  — графит ( $t = 25$  мм); — — — — максвелловское распределение при  $T_0 = 320$  К; - - - - эксперимент

Для проверки и подтверждения этих соображений были выполнены специальные измерения на сквозном касательном канале реактора ИВВ-2. На рис. 1, в представлена схема эксперимента по монохроматизации пучка длинноволновых нейтронов и измерению его энергетического спектра. В качестве рассеивателей использовались порошок окиси бериллия (насыщенная плотность  $\sim 1,1$  г/см<sup>3</sup>; длина 120 мм;  $2d'_{\max} = 4,68$  Å) и графит (плотность 1,6 г/см<sup>3</sup>, длина 120 мм и 25 мм,  $2d'_{\max} = 6,76$  Å), а на выходе из канала был установлен поликристаллический бериллиевый фильтр (длина 150 мм,  $2d''_{\max} = 3,96$  Å). Спектры измерялись по обычной методике времени пролета на базе 417 см (условия экспериментов, а также характеристики реактора и касательного канала изложены в работах [1, 2]).

На рис. 2 приведены спектры нейтронов, полученные в этих измерениях. Как видно, в длинноволновой области существует четко выраженный обрыв при  $\lambda = 4,68$  и 6,76 Å для рассеивателя из BeO и из графита разной длины соответственно. Там же показан равновесный спектр тепловых нейтронов в отражателе реактора, рассчитанный для температуры 320 К, который хорошо совпадает с экспериментально измеренным для рассеивателя из графита ( $t = 120$  мм) в интервале пороговых длин волн от  $\lambda_1 = 6,76$  Å до  $\lambda_2 = 3,96$  Å. Примесь нейтронов с  $\lambda > \lambda_1$  для окиси бериллия составляет примерно 10% от числа этих нейтронов в равновесном спектре. (Следует отметить, что рассеиватель из графита с  $t = 120$  мм выводит практически все тепловые нейтроны из канала [2]). Некоторое отличие спектра для BeO от равновесного в области  $3,96$  Å  $< \lambda < 4,68$  Å обусловлено тем, что в рассеивателе из окиси бериллия с  $t = 120$  мм не для всех длин волн выполняется условие  $t/L_{tr} \sim 5$ , необходимое для полного выведения нейтронов с данной длиной волны [1].

При установке в канал рассеивателя из графита примесь нейтронов с  $\lambda > \lambda_1$  составляет  $\sim 25\%$  при длине 120 мм и  $\sim 5\%$  при длине 25 мм ( $t \sim L_{tr}$ ) от числа этих нейтронов в равновесном спектре. В то же время при уменьшении длины рассеивателя из графита от 120 до 25 мм выход полезных нейтронов с  $\lambda < \lambda_1$  уменьшается только примерно в 1,5 раза.

Таким образом, используя специфику геометрии рассеяния нейтронов в сквозном касательном канале, можно получить непосредственно на выходе из канала интенсивный пучок длинноволновых нейтронов с малым разбросом по энергии, что позволяет создавать экспериментальные установки с хорошей разрешающей способностью и большой светосилой.

Поступило в Редакцию 26/XI 1975 г.

#### СПИСОК ЛИТЕРАТУРЫ

- Гоцицкий Б. Н. и др. «Атомная энергия», 1968, т. 25, вып. 1, с. 21.
- Гоцицкий Б. Н. и др. «Атомная энергия», 1970, т. 29, вып. 2, с. 91.

УДК 621.039.51

## Упрощенное определение числа нейтронов деления на один поглощенный в уран-водной решетке тепловой нейtron

БАРТОЛОМЕЙ Г. Г., БАЙБАКОВ В. Д., КЛИМЕНКО А. В., СИДОРЕНКО В. Д.

Одним из основных ядерно-физических параметров тепловых реакторов является число нейтронов деления, образующихся при поглощении одного теплового нейтрана:

$$\eta = \frac{(\overline{v_f} \sum_f)_0^{A3}}{(\sum_a)_0^{A3}} =$$

$$= \frac{\int_0^{\infty} \int_{V_0} v_f \sum_f(E) \Phi_0(r, E) dV dE}{E_{grp}}, \quad (1)$$

$$\sum_i \int_0^{\infty} \int_{V_i} \sum_a(E) \Phi_i(r, E) dV dE$$

где  $E_{grp}$  — граничная энергия тепловой области;  $V_0$  — объем топлива;  $\Phi_0$  — поток нейтронов в топливе.

Суммирование в знаменателе ведется по всем компонентам активной зоны. Точное вычисление параметра  $\eta$  представляет собой сложную и трудоемкую задачу.

Однако во многих случаях возникает необходимость отыскания более простых методов расчета  $\eta$ , имеющих достаточную точность и опирающихся на реперные данные, полученные точными расчетами.

В настоящей статье описывается один из таких методов.

Для элементарной ячейки, состоящей из топлива, замедлителя и покрытия твэлов (индексы 0, 1, 2 соответственно) выражение (1) можно привести к виду

$$\eta = \frac{(\bar{v}_f \sum_i)_0}{\sum_{a_0} + \sum_{a_1} \frac{V_1}{V_0} \frac{\Phi_1}{\Phi_0} + \sum_{a_2} \frac{V_2}{V_0} \frac{\Phi_2}{\Phi_0}}. \quad (2)$$

Точность вычисления  $\eta$  зависит от точности вычисления средних по зонам потоков тепловых нейтронов  $\Phi_i$ , способа усреднения сечений поглощения  $\sum_{a_i}$  и произведения  $(\bar{v}_f \sum_i)_0$ .

Величина отношения средних потоков, вычисленная по интегральному методу [1], хорошо согласуется с экспериментом. Поэтому точность вычисления  $\eta$  в основном определяется способом усреднения макроскопических сечений.

В методе усреднения сечений, учитывающем эффекты гетерогенности [2], температура нейтронного газа определяется для каждой области отдельно и сечения относятся именно к этой температуре. Считается, что в каждой зоне ячейки нейтроны распределены по спектру Максвелла.

В расчетах использована следующая методика усреднения сечения, основанная на данном методе. Температуру нейтронного газа в замедлителе  $T_{n, r_1}$  можно определить из выражения

$$T_{n, r_1} = T_1 \left[ 1 + \frac{9,4}{\gamma_1} \theta_1 \right], \quad (3)$$

где  $T_1$  — температура замедлителя;  $\gamma_1$  — плотность воды при температуре  $T_1$ , отнесенная к плотности воды при  $T = 293$ , 6 К;

$$\theta_1 = \frac{1}{3,07} \left[ \sum_{a_1} + \sum_{a_2} \frac{V_2}{V_1} \frac{\bar{\Phi}_2}{\bar{\Phi}_1} + \sum_{a_0} \frac{V_0}{V_1} \frac{\bar{\Phi}_0}{\bar{\Phi}_1} \right] \quad (4)$$

— фактор жесткости спектра; 3,07 — численное значение параметра, характеризующего величину среднего значения энергии обмена при столкновении нейтронов с ядрами замедлителя, определенного по модели Нелкина;

$$\sum_{a_i}^{2200} = \sum_{a_i}^{2200} \frac{1}{\tilde{v}}; \quad (5)$$

$\sum_{a_i}^{2200}$  — сечение поглощения в  $i$ -й зоне, кроме топлива ( $UO_2$ ), при табличной скорости нейтронов  $v_t = 2200$  м/с;

$$\sum_{a_0}^{2200} = \sum_{a_5}^{2200} g_a^5 + \sum_{a_8}^{2200} + \sum_{a_{12}}^{2200}, \quad (6)$$

где  $g_a^5$  — коэффициент, учитывающий отклонение от закона  $1/v$  в сечении поглощения для  $^{235}U$ , взятый при средней скорости нейтронного газа в топливе  $\bar{v}_0$  [2] (предполагаем, что в системе отсутствуют поглотители с сечением, отклоняющимся от закона  $1/v$ , кроме  $^{235}U$ );  $\tilde{v}_i = \bar{v}_i / v_t$  — средняя скорость нейтронного газа в  $i$ -й зоне, отнесенная к табличной скорости,  $v_t = 2200$  м/с;  $\bar{\Phi}_i$  — средний поток нейтронов в  $i$ -й зоне.

Скорость нейтронного газа в замедлителе, отнесенная к скорости  $v_t = 2200$  м/с:

$$\tilde{v}_1 = 1,128 \sqrt{\frac{T_{n, r_1}}{293,6}}. \quad (7)$$

Величина  $\tilde{v}_0 - \tilde{v}_1$ , учитываящая ужесточение спектра нейтронов в топливе, определялась по формулам [2]

$$(\tilde{v}_0 - \tilde{v}_1) = 0,3\beta; \quad (8)$$

$$\beta = \frac{d_0 \sum_{a_0} (1 - P_c)}{\left( 1 - \frac{\sum_{a_0}}{\sum_0} P_c \right)}, \quad (9)$$

где  $d_0$  — диаметр топливного блока, см;  $\sum_0 = \sum_{a_0} + \sum_{a_1} + \sum_{a_2}$  — полное сечение взаимодействия в зоне «0», см<sup>-1</sup>;  $P_c$  — вероятность того, что нейtron, рожденный в топливе, испытывает в нем свое первое столкновение.

Для расчета  $P_c$  использовалась формула [3]

$$P_c = \frac{2d_0 \sum_0}{2 + d_0 \sum_0} - \frac{d_0 \sum_0}{3 + d \sum_0}. \quad (10)$$

Величина  $\tilde{v}_2$  определяется как среднеарифметическое из значений скорости нейтронов в топливе  $\tilde{v}_0$  и замедлителе  $\tilde{v}_1$ .

Метод — итеративный. В первом приближении принимаем

$$\frac{\bar{\Phi}_2}{\bar{\Phi}_1} = \frac{\bar{\Phi}_0}{\bar{\Phi}_1} = 1; \quad \tilde{v}_1 = 1,128 \sqrt{\frac{T_1}{293,6}}; \\ g_a^5 = g_a^5 (kT_1).$$

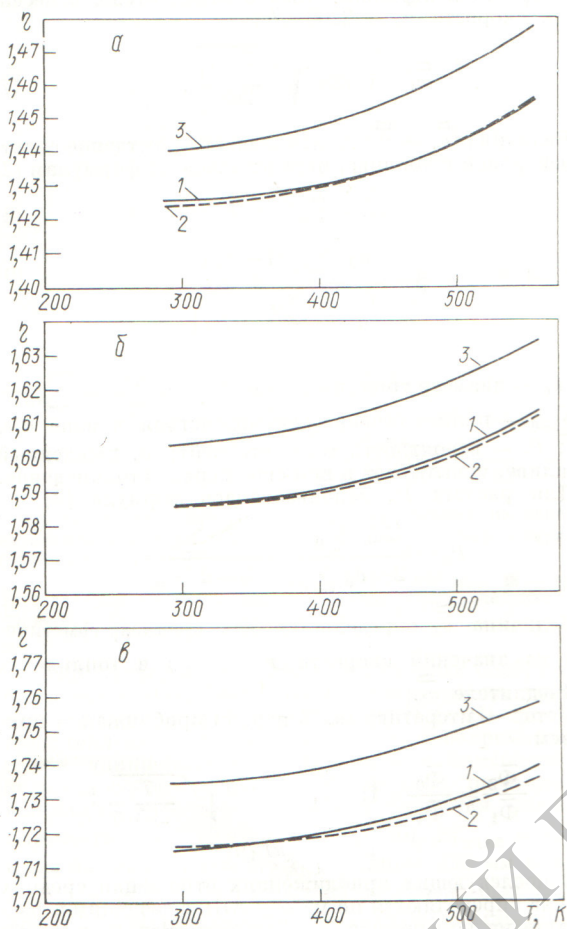
В последующих приближениях отношения средних потоков определяются по методу АБГ с сечениями, рассчитанными по формуле (5). Расчет повторяется до тех пор, пока  $(m+1)$ -приближение для  $\bar{\Phi}_i / \bar{\Phi}_1$  не будет достаточно мало отличаться от предыдущего  $m$ -го приближения. Обычно для этого достаточно двух-трех итераций.

Для сравнения рассматриваемого метода с другими были рассчитаны значения  $\eta$  при обогащении урана 1,6; 2,4 и 3,6% и температуре воды 293, 373, 423, 558 К (оптическая толщина блока  $d_0 \sum_{a_0}^{2200}$  равна соответственно 0,489; 0,579; 0,713).

Топливом служила двуокись урана плотностью 10,4 г/см<sup>3</sup>. Наружный диаметр твэла составлял 9,1 мм, диаметр по топливу 7,75 мм, покрытие — сплав циркония. Водо-ураниевое отношение равно 1,79. На рисунке сопоставляются значения  $\eta$ , полученные при использовании различных моделей.

Кривая 1 соответствует следующему способу вычисления  $\eta$ : термализация в воде описывается моделью тяжелого газа, а пространственное распределение потока нейтронов при каждой энергии вычисляется с использованием метода вероятностей первого столкновения. Этот способ проверен сравнением с расчетами по программе THERMOS [2] для типичных решеток с легководным замедлителем. Результаты расчетов хорошо согласуются.

Кривая 2 отвечает результатам расчетов по предлагаемому методу.



Сопоставление расчетных значений  $\eta$ , полученных при использовании разных моделей, для трех обогащений урана, %:  
а — 1,6; б — 2,4; в — 3,6

Для сравнения представлены значения  $\eta$  (кривая 3), рассчитанные следующим образом.

Сечения всех компонентов активной зоны усреднялись по спектру Максвелла для гомогенизированной ячейки с единой по всей ячейке температурой нейтронного газа [4].

$$T_{H, r} = T_1 \left[ 1 + C \frac{\sum_a (kT_1)}{\xi \sum_S} \right], \quad (11)$$

где  $T_1$  — средняя температура замедлителя;

$$\sum_a (kT_1) = \frac{\sum_i V_i \sum_{a,i}^{2200} \sqrt{\frac{293,6}{T_1}} \bar{\Phi}_i}{\sum_i V_i \bar{\Phi}_i}$$

— среднее сечение поглощения при энергии  $kT_1$ ;

$$\xi \sum_S = \frac{\sum_i V_i (\xi \sum_S)_i \bar{\Phi}_i}{\sum_i V_i \bar{\Phi}_i}$$

— средняя замедляющая способность, отнесенная к энергии 1 эВ;  $C$  — константа, зависящая от вида замедлителя, и равная 1,88. Отношение потоков  $\bar{\Phi}_1/\bar{\Phi}_0 = 1,4$ . Из сопоставления результатов, полученных по различным методикам, видно, что по отношению к кривой 1, соответствующей наиболее точному способу вычисления  $\eta$ , точки кривой 2 при обогащениях 1,6 и 2,4% и всех значениях температуры отклоняются не более чем на 0,097%. При обогащении 3,6% максимальное расхождение кривых составляет  $\sim 0,23\%$ . Очевидно, это объясняется тем, что при такой оптической толщине блока реальный спектр нейтронов в ячейке (в первую очередь в топливе) уже значительно отличается от максвелловского, поэтому метод [2] становится не вполне корректным.

Отличие кривой 3 от кривой 1 составляет  $\sim 1,5\%$ . Из них  $\sim 1\%$  обусловлен различием  $\sum_a$  и  $\sim 0,5\%$  различием отношений потоков  $\bar{\Phi}_i/\bar{\Phi}_0$ . Такая большая разница недопустима.

Следовательно, сопоставление значений  $\eta$ , полученных различными способами, позволяет рекомендовать предлагаемый метод для проведения инженерных расчетов уран-водных решеток.

Поступило в Редакцию 7/I 1976 г.

#### СПИСОК ЛИТЕРАТУРЫ

- Галанин А. Д. Нейтронная физика. Под ред. П. А. Крупчицкого. М., Госатомиздат, 1961.
- Honeck H. «Nucl. Sci. and Engng», 1964, v. 18, p. 49.
- Pershagen B. In: Proc. IAEA Simp. «Heavy Water Lattice Calculation». Vienna, 1963.
- Ломакин С. С. и др. «Атомная энергия», 1974, т. 36, вып. 3, с. 241.